



# ساخت و بررسی کامپوزیت‌های آلومینا/تیتانات آلمینیوم به روش زینتر واکنشی در درجای حضور پودرهای نانوسایز و میکرونی $TiO_2$

منوچهر سبحانی\*، تورج عبادزاده و محمدرضا رحیمی‌بور

پژوهشگاه مواد و انرژی کرج

تاریخ ثبت اولیه: ۱۳۹۳/۰۳/۱۲، تاریخ دریافت نسخه اصلاح شده: ۱۳۹۳/۰۴/۲۷، تاریخ پذیرش قطعی: ۱۳۹۳/۰۵/۰۵

## چکیده

در این تحقیق کامپوزیت‌های آلومینا/تیتانات آلمینیوم با مقادیر ۲، ۱۰ و ۲۰ درصد وزنی  $Al_2TiO_5$  به عنوان فاز ثانویه با استفاده از زینتر واکنشی بین آلومینا و  $TiO_2$  تهیه شدند. ساخت کامپوزیت‌ها با افزودن دو نوع  $TiO_2$ ، یکی نانوسایز و دیگری میکرونی مورد بررسی قرار گرفت. نتایج حاصله از آنالیز اشعه X نشان داد که واکنش کامل هر دو نوع تیتانیا با آلمینیای زمینه در دمای  $1500^{\circ}C$  منجر به تشکیل کامل فاز تیتانات آلمینیوم شده است. دانسیته نسبی آلومینا از حدود ۹۴٪ دانسیته تئوری برای آلمینیای تک فاز و بدون افزودنی به حدود ۹۷٪ در حضور افزودنی  $TiO_2$  برای تمام موارد کامپوزیتی افزایش پیدا کرد. منحنی تغییرات دانسیته در مورد افزودنی نانوسایز در تمام محدوده ترکیب، بالاتر از منحنی افزودنی میکرونی قرار دارد. برای کامپوزیت حاوی ۲۰٪ وزنی فاز  $Al_2TiO_5$  دانسیته از حدود ۹۷٪ برای کامپوزیت میکرونی به ۹۸٪ در نوع تهیه شده با نانوتیتانیا افزایش یافت. در مورد تغییرات استحکام نیز افزایش در استحکام در اثر افزودنی نانوسایز نسبت به نوع میکرونی مشاهده شد. بطوریکه در کامپوزیت با ترکیب ۱۰٪ وزنی فاز ثانویه، استحکام خمشی ۲۹۲ MPa و ۲۶۹ MPa به ترتیب برای نوع نانو و نوع میکرونی حاصل شد.

واژه‌های کلیدی: زینتر واکنشی، تیتانات آلمینیوم، کامپوزیت آلمینیایی، خواص مکانیکی.

## ۱- مقدمه

قطعات آلمینیایی مورد استفاده می‌شود [۱]. بنابراین استفاده از یک فاز ثانویه با قابلیت بالا بردن تافنس و مقاومت به شوک حرارتی آلمینا بسیار مفید و لازم به نظر می‌رسد. تیتانات آلمینیوم یا تیالیت با فرمول شیمیایی  $Al_2TiO_5$  یک ماده سرامیکی با ساختار بلورین اورتوروموبیک (Orthorhombic) است که از واکنش مول‌های مساوی آلمینا و  $TiO_2$  در دمای ترمودینامیکی حدود  $1280^{\circ}C$  تشکیل می‌شود [۲،۳]. البته بررسی‌های

آلومینا به عنوان یک سرامیک شناخته شده دارای خواصی مانند، نقطه ذوب بالا، استحکام و سختی بالا می‌باشد، که باعث گستردگی کاربردهای آن در زمینه‌های مختلف شده است. از عیوب مهم آن می‌توان زینترینگ در دمای بالا، تافنس پایین و خواص حرارتی ضعیف را نام برد که باعث ایجاد محدودیت در کاربردهای آلمینا و کاهش طول عمر

\* عهددار مکاتبات: منوچهر سبحانی

نشانی: کرج، پژوهشگاه مواد و انرژی، پژوهشگاه سرامیک

تلفن: ۰۲۶۳-۶۲۰۴۱۳۹، ۰۲۶۳-۶۷۰۲۲۸۵، دورنگار: manoochehrsobhani@gmail.com

که در آن  $D_{gr}$  سایز بحرانی دانه است که میکروترک شدن خودبخودی روی می‌دهد،  $\alpha$  انرژی سطوح شکست، E مدول یانگ نمونه،  $\Delta\alpha$  پیشینه اختلاف در ضریب انبساط حرارتی در جهت‌های بلورین و  $\Delta T$  اختلاف بین دمای زینترینگ تا دمای محیط است. این پدیده افت خواص مکانیکی را به همراه دارد و همچنین گزارش‌ها نشان می‌دهد که حجم اعمال شده توسط میکروترک‌های ایجاد شده باعث کاهش خواص فیزیکی نظری دانسیته نمونه زینتر شده می‌شود [۱۷]. بنابراین باید از افزایش سایز بحرانی اجتناب نمود. از آنجائیکه اثر اندازه ذرات فاز ثانویه تیتانات آلومینیوم در زمینه آلومینیایی و همچنین تغییرات در ترکیب این نوع کامپوزیت کمتر مورد توجه قرار گرفته است، لذا در این تحقیق مقایسه‌ای بین کامپوزیت‌های A/AT که بوسیله زینتر واکنشی آلومینای زمینه و  $TiO_2$  افزودنی، که در دو سایز نانو و میکرونی افزوده شده‌اند انجام پذیرفته است. همچنین اثر مقدار فاز ثانویه برای کامپوزیت‌های حاوی ۲، ۱۰، ۲۰٪ وزنی  $Al_2TiO_5$  و  $Al_2TiO_5$  آلومینایی تک فاز مورد بررسی قرار گرفته است.

## ۲- فعالیت‌های تجربی

### ۲-۱- روش انجام آزمایش

مواد اولیه مورد استفاده آلومینای MR70 تجاری موجود با  $\mu m=0.7$ ، پودر تیتانیای میکرونی (Merck) و تیتانیای نانوسایز (P25, Degussa-Evonik, Germany) با میانگین سایز ذرات  $40 nm$  بودند که تصاویر میکروسکوپ الکترونی روبشی آنها در شکل ۱ آورده شده است. کامپوزیت‌های زمینه آلومینایی حاوی ۲، ۱۰، ۲۰٪ وزنی فاز ثانویه تیتانات آلومینیوم (A/2AT، A/10AT و A/20AT) با افزودن مقادیر موردنیاز  $TiO_2$  (۴/۰، ۴/۸۸ و ۸/۸٪ وزنی) که طبق رابطه زیر بر مبنای مقادیر جرم مولی بدست آمده است، تهیه شدند.

$$wt.\%AT=2.275\times wt.\%TiO_2 \quad (2)$$

برای افزایش همگنی و اختلاط پودرهای اولیه، دوغابی با بارگذاری ۷۵٪ وزنی جامد (حدود ۴۳٪ حجمی) از پودرهای اولیه تهیه شد و از افزودنی دولاضیکس

اخير قابلیت تشکیل فاز تیتانات آلومینیوم در دماهای کمتر از دمای  $1000^{\circ}C$  را به روش سل-زل نشان می‌دهد [۱۴].

این ماده دارای اختلاف شدید ضریب انبساط حرارتی در جهات مختلف بلوری ( $^{0\circ}C^{-1}\times 10^{-6}$ ) ( $\alpha_a\approx 11$ ,  $\alpha_b\approx 21$ ,  $\alpha_c\approx 3$ ) می‌باشد. این ناهمسانگردی در مجموع سبب کاهش ضریب انبساط حرارتی کلی آن ( $^{0\circ}C^{-1}\times 10^{-6}$ ) شده است [۱۵]. بنابراین حضور این فاز در زمینه آلومینایی می‌تواند باعث بهبود خواص حرارتی از طریق کاهش ضریب انبساط و بهبود تافنس از طریق فعل شدن مکانیسم‌های تافنینگ شود [۵، ۷، ۸]. همچنین تیتانات آلومینیوم دارای خواص: نقطه ذوب نسبتاً بالا ( $1860^{\circ}C$ )، مقاومت به خوردگی بالا و عدم واکنش با مذاب فلزات می‌باشد [۹]. بنابراین بررسی‌های متنوع در زمینه ارزیابی خواص کامپوزیت‌های آلومینای تیتانات آلومینیوم یا A/AT و اثر فاز  $Al_2TiO_5$  در بهبود مقاومت به رشد ترک کامپوزیت توسط محققین انجام شده است [۱۰، ۱۱]. به عنوان مثال مقایسه مقاومت به سایش کامپوزیت A/10AT با آلومینای تک فاز، افزایش مقاومت به سایش کامپوزیت را در اثر تغییر مکانیسم شکست سطوح در معرض سایش از نوع درون دانه‌ای در آلومینا به نوع مرزدانه‌ای در نوع کامپوزیتی نشان می‌دهد [۱۲]. کامپوزیت‌های A/AT را علاوه بر تهیه به روش مخلوط پودرهای اولیه آلومینا و تیتانیت سنتز شده می‌توان با مخلوط پودرهای آلومینا و  $TiO_2$  به روش زینتر واکنشی درجا نیز تهیه نمود. همچنین اتحال  $TiO_2$  در ساختار آلومینا باعث بهبود و کاهش دمای زینترینگ آلومینا می‌شود [۱۳، ۱۴]. مطالعات نشان می‌دهد که با افزایش سایز دانه‌های تیتانات آلومینیوم تنش‌های ایجاد شده در اثر آنیزوتropی حرارتی به اندازه‌ای بزرگ می‌شوند که باعث ایجاد میکروترک خودبخودی در فصل مشترک دانه‌ها می‌شود. سایز بحرانی دانه‌ها بر اساس تعادل انرژی کرنشی ایجاد شده و رهایش آن در اثر ایجاد سطوح جدید طی میکروترک شدن به صورت رابطه زیر مطرح می‌شود [۱۵، ۱۶]:

$$D_{gr}=\frac{14.4\gamma_f}{E(\Delta\alpha(\Delta T_{max})^2)} \quad (1)$$

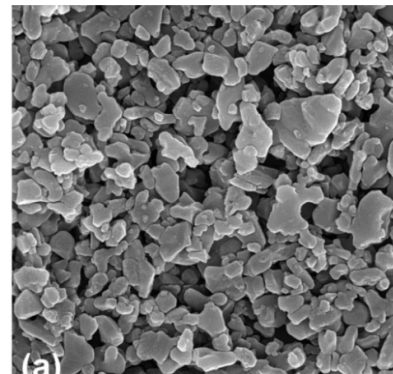
ابتدا مقداری مورد نیاز دولپیکس در آب مقطر حل شده و سپس پودر  $TiO_2$  مورد نیاز بدان اضافه و دوغاب ۱۵ دقیقه توسط همزن مغناطیسی همزده شد.

به منظور جدا شدن ذرات آگلومره از یکدیگر حین آماده‌سازی مخلوط اولیه کامپوزیت‌ها از پرپوپ سونیکیتور (Sonicator Labsonic P Sartorius Stedim) برای مدت ۱ دقیقه استفاده شد. تنظیمات دستگاه به صورت Amplitude=۶۰ و cycle=۰/۵ انجام شد. مجدداً پس از ۱۵ دقیقه همزدن مقداری آلومینیم مورد نیاز نیز به صورت تدریجی به دوغاب اضافه شد و در نهایت برای بهبود وضعیت پخش ذرات و باز شدن آگلومره‌های آلومینیم، دوغاب ۲ دقیقه دیگر تحت سونیکیت قرار گرفته و همزده شد. دوغاب نهایی در دمای  $140^{\circ}C$  در خشک کن آزمایشگاهی خشک شده و پودر حاصله با عبور از الک در حضور ۵٪ وزنی رطوبت ( محلول آبی حاوی ۲٪ PVA) گرانوله شد. نمونه‌های خام چهار گوش در ابعاد  $25 \times 5 \times 4$  میلی‌متر توسط قالب فولادی در فشار ۵۰ مگاپاسکال تهیه شدند. به منظور رفع عیوب ناشی از پرس نمونه‌ها در فشار ۱۷۵ مگاپاسکال تحت پرس ایزوفاستاتیک سرد (CIP) قرار گرفتند. دانسیته خام بدست آمده بدین روش حدود ۶۰٪ دانسیته تئوری بود. سپس کامپوزیت‌های خام در دمای  $1500^{\circ}C$  در کوره الکتریکی با نرخ گرمادهی ۳ درجه بر دقیقه و ماندگاری به مدت زمان ۳ ساعت در اتمسفر هوا زینتر شدند.

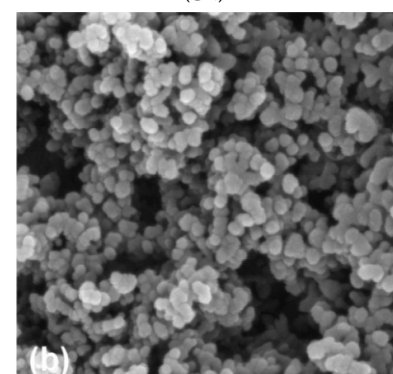
## ۲-۲- ارزیابی خواص

شناسایی فاز کامپوزیت‌ها توسط آنالیز تفرق اشعه X از سطوح پولیش شده نمونه‌ها در بازه زاویه‌ای ۵-۸۰ درجه با استفاده از تابش  $CuK_{\alpha}$  با طول موج  $1/54$  آنگستروم بوسیله دستگاه Siemens D-500, Germany بوسیله دستگاه Siemens D-500, Germany نتایج با کارت‌های شناسایی ASTM مربوطه مورد مقایسه و بررسی قرار گرفت [۱۷-۱۹]. مشاهدات میکروساختاری توسط میکروسکوپ الکترونی روشنی نشر میدانی (FESEM, model MIRA TESCAN) بر سطوح پولیش شده (تا ۱ میکرون) و اج حرارتی شده (در  $100^{\circ}C$  زیر دمای زینترینگ به مدت ۲۰ دقیقه) انجام شد. مقدار استحکام خمشی نمونه‌ها توسط تست استحکام سه

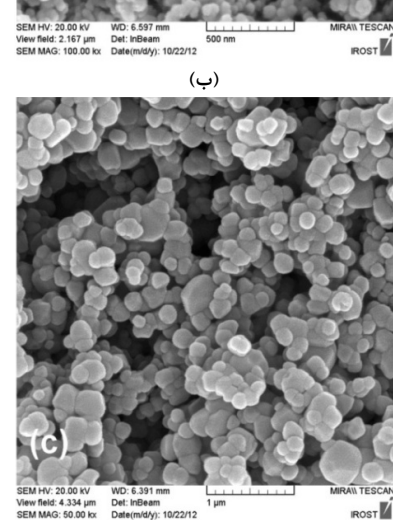
(Dolapix CE64, Germany) به مقدار ۰/۰٪ وزنی بر مبنای پودر جامد، به عنوان عامل دیسپرس کننده استفاده شد [۱۸-۱۹].



(الف)



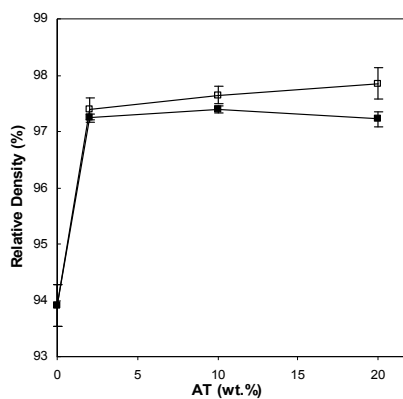
(ب)



(ج)

شکل ۱: تصاویر FESEM پودرهای اولیه استفاده شده، (a) آلمینا، (b) تیتانیای نانوسایز و (c) تیتانی میکرونوی.

صورت گرفته است [۲۰]. همانطور که الگوی XRD در شکل ۲ نشان می‌دهد واکنش کامل  $TiO_2$  افزوده شده با آلومینیزی زمینه منجر به حذف فاز تیتانیا و تشکیل کامل ساختار اورتورومبیکی  $Al_2TiO_5$  شده است. در نتیجه ترکیب نهایی کامپوزیت شامل آلومینیزی باقیمانده به عنوان فاز زمینه و تیتانات آلومینیوم به عنوان فاز ثانویه، برای هر دو نوع افزودنی نانو و میکرونی می‌باشد. شکل ۳ بیانگر تغییرات دانسیته کامپوزیت با ترکیب است. دانسیته تئوری کامپوزیت‌ها با استفاده از قانون مخلوط‌ها محاسبه شده و در آن دانسیته‌های تئوری  $3/99\text{ g/cm}^3$  برای آلومینیوم  $3/7\text{ g/cm}^3$  برای تیتانات آلومینیوم لحاظ شده است [۱۷، ۱۹].



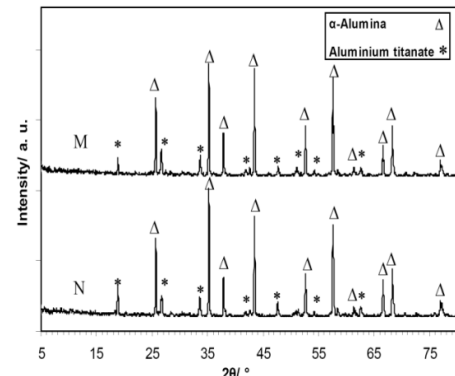
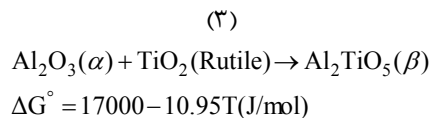
شکل ۳: تغییرات دانسیته کامپوزیت با مقدار تیتانات آلومینیوم (□: افزودنی نانو  $TiO_2$  و ■: افزودنی  $TiO_2$  میکرونی).

همانطور که در شکل ۳ دیده می‌شود دانسیته بلافارصله از مقدار تقریبی ۹۴٪ برای آلومینیوم تک فاز به بیش از ۹۷٪ دانسیته تئوری در حضور هر دو نوع  $TiO_2$  افزودنی، افزایش پیدا کرده است. مکانیسم بهبود زینترپذیری آلومینیا در اثر افزودن تیتانیا به وجود حلالیت کاتیون‌های آلومینیا در شبکه آلومینیا مربوط می‌شود. اکسید تیتانیوم در دماهای بالا (حدود  $1400^\circ C$ ) دارای حد حلایتی در حدود  $0/5$  درصد وزنی در آلومینیا می‌باشد [۱۱، ۲۰]. این حلایت به صورت جانشینی کاتیون‌های  $Ti^{4+}$  بجای کاتیون‌های  $Al^{3+}$  در شبکه آلومینیا ( $Ti_{Al}$ ) صورت می‌پذیرد [۱۸]. بنابراین با جانشینی ۳ کاتیون  $Ti^{4+}$  در شبکه  $12$  بار مثبت ایجاد می‌شود که با خروج ۴ کاتیون  $Al^{3+}$  تعادل بار شبکه حاصل می‌شود. اما از نظر تعادل در تعداد

نقطه‌ای با فاصله تکیه‌گاهی  $15\text{ mm}$  و سرعت بارگذاری  $0/5\text{ mm/min}$  اندازه‌گیری شدند. حداقل ۵ نمونه سالم جهت بدست آوردن مقادیر میانگین و انحراف از میانگین برای تست استحکام خمشی و دانسیته مورد آزمایش قرار گرفتند. دانسیته نمونه‌ها نیز به روش ارشمیدوس با استفاده از غوطه‌وری در آب قطر اندازه‌گیری شد.

### ۳- نتایج و بحث

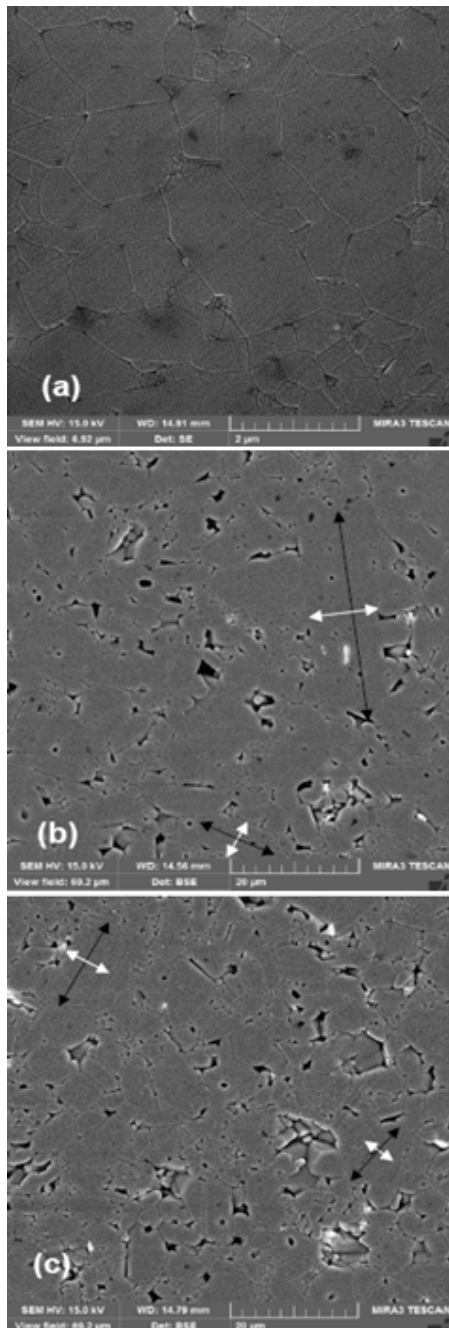
الگوی XRD کامپوزیت‌های حاوی ۲۰٪ وزنی تیتانات آلومینیوم در شکل ۲ نشان داده شده است. همانطور که در مقدمه گفته شد دمای ترمودینامیکی واکنش  $Al_2O_3 + TiO_2 \rightarrow Al_2TiO_5$  طبق رابطه انرژی آزاد گیبس که از معادله زیر تعییت می‌کند  $1280^\circ C$  است.



شکل ۲: الگوی پراش اشعه X کامپوزیت  $A/20AT$  (N: افزودنی نانو  $TiO_2$  و M: افزودنی  $TiO_2$  میکرونی).

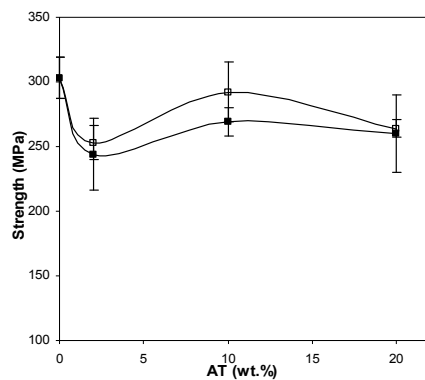
اما مطالعات نشان می‌دهد که جوانه‌زنی سطحی تیالیت بر روی  $TiO_2$  باعث ایجاد یک لایه محافظ بر روی دانه‌های  $TiO_2$  می‌شود. این لایه با ممانعت از نفوذ کاتیون‌های آلومینیومی باعث کاهش رشد بیشتر فصل مشترک فاز ثانویه تشکیل شده و جلوگیری از تکمیل واکنش می‌شود. لذا انتخاب دمای زینترینگ بیشتر ( $1500^\circ C$ ) به منظور تکمیل واکنش تشکیل فاز ثانویه و بهبود دانسیته نهایی زینترینگ طی افزایش سرعت نفوذ کاتیون‌های آلومینیوم،

رونده تغییرات استحکام نمونه‌ها با روند مشاهده شده در تغییرات دانسیته متفاوت است. بلافاصله با حضور افزودنی اکسید تیتانیوم و تشکیل فاز ثانویه  $\text{Al}_2\text{TiO}_5$  استحکام در ترکیب A/2AT نسبت به نمونه آلمینیایی تک فاز کاهش می‌یابد.



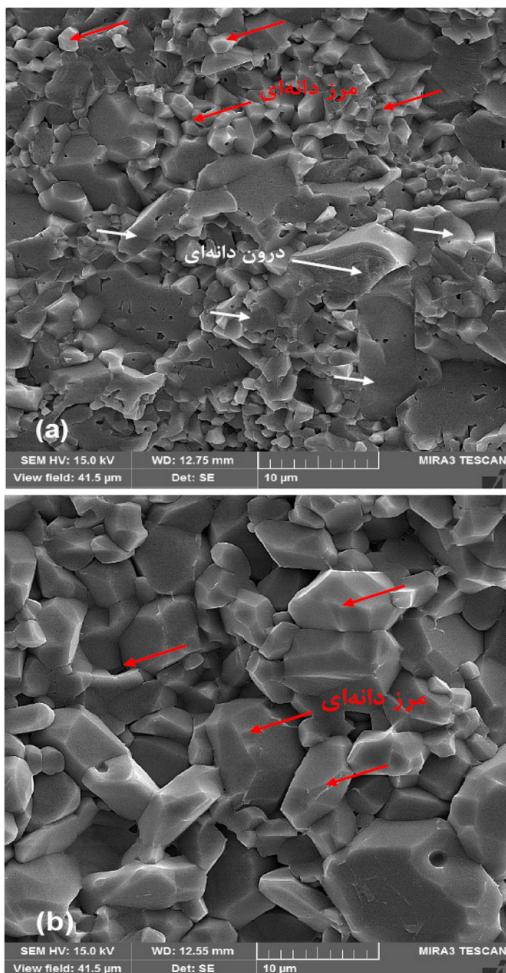
شکل ۵: تصاویر SEM، (a) نمونه آلمینیایی، (b) کامپوزیت‌های با افزودنی میکرو و (c) نانو  $\text{TiO}_2$  با ترکیب A-2AT.

کاتیون‌های شبکه یک جای خالی اتمی آلمینیومی به صورت  $\text{V}_{\text{Al}}^{3+}$  بر جای می‌ماند [۲۱، ۱۵]. در نتیجه نفوذ کاتیون‌های آلمینیوم در حضور این جاهاخای خالی به راحتی انجام می‌پذیرد. این پدیده باعث بهبود زینترینگ و افزایش دانسیته کامپوزیت‌های آلمینیایی از ۹۴٪ به ۹۷٪ می‌شود. در ادامه با افزایش بیشتر مقادیر فاز ثانویه، افزایش چندانی در دانسیته کامپوزیت‌های با افزودنی میکرونی حاصل نمی‌شود. اما همانطور که شکل ۳ نشان می‌دهد شاخه مربوط به منحنی دانسیته برای افزودنی نانو  $\text{TiO}_2$  از نوع میکرونی جدا شده و بالاتر از آن قرار می‌گیرد. در کامپوزیت با ترکیب A/20AT این اختلاف با افزایش دانسیته در نمونه با افزودنی نانو و کمی کاهش در نمونه با افزودنی میکرونی کاملاً واضح می‌شود. کاهش شدت در شیب منحنی افزایش دانسیته و یا ثابت ماندن آن با افزایش فاز ثانویه را می‌توان به عدم کارآیی حضور بیشتر از حد حلایت  $\text{TiO}_2$  و ممانعت از رشد و قفل شدن مرزدانه‌های آلمینیایی در اثر قرار گرفتن ذرات فاز ثانویه تیتانات آلمینیوم در گوشه‌های حاصل از تقاطع دانه‌ها نسبت داد. همچنین با افزایش ذرات فاز ثانویه امکان اگلomerاسیون آنها نیز افزایش می‌یابد و شرایط برای افزایش دانسیته و زینترینگ یکواخت دانه‌های آلمینیایی زمینه نامناسب می‌گردد (کامپوزیت میکرونی A/20AT) و در صورت بهبود وضعیت توزیع ذرات فاز ثانویه این افزایش می‌تواند ادامه یابد (کامپوزیت نانویی A/20AT). تغییرات استحکام خمی اندازه‌گیری شده با ترکیب کامپوزیت‌ها در شکل ۴ به نمایش در آمده است.



شکل ۶: تغییرات استحکام خمی کامپوزیت با مقدار تیتانات آلمینیوم، (□: افزودنی نانو  $\text{TiO}_2$  و ■: افزودنی  $\text{TiO}_2$  میکرونی).

مورد دانه‌های درشت‌تر، می‌باشد. مناطق شامل شکست درون دانه‌ای و مرزدانه‌ای به ترتیب با فلش‌های سفید و قرمز رنگ مشخص شده‌اند. در حضور اندک مقادیر فاز ثانویه نانوسایز (تصویر b) شکست کاملاً به صورت مرزدانه‌ای است. با بیشتر شدن مقادیر فاز ثانویه  $\text{Al}_2\text{TiO}_5$  این فاز به صورت دانه‌های روشن‌تر نسبت به آلومینا در تصاویر SEM شکل ۷ قابل مشاهده است.



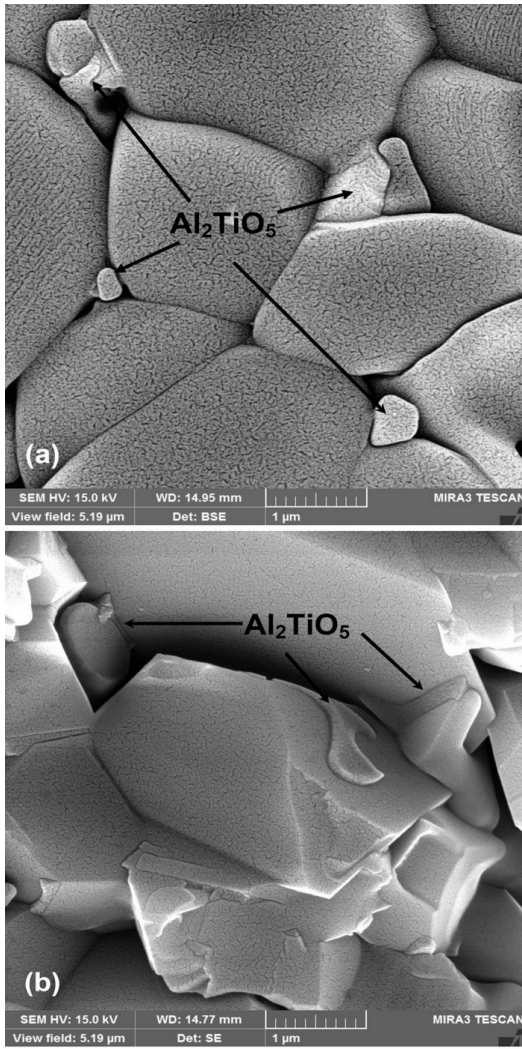
شکل ۶: تصاویر SEM سطح شکست، a) نمونه آلومینایی و b) کامپوزیت A-2AT با افزودنی  $\text{TiO}_2$  نانو.

تصاویر a و b که به ترتیب مربوط با افزودنی میکرونی و نانو  $\text{TiO}_2$  می‌باشد، نشان دهنده کاهش سایز ذرات آلومینایی نسبت به نمونه‌های با ترکیب A/2AT است. این کاهش در رشد بدلیل جلوگیری از حرکت مرزدانه‌های آلومینایی بدلیل قرار گرفتن فاز ثانویه تیتانات آلومینیوم

مکانیسم این کاهش در واقع بخاطر افزایش دانسیته در حضور عیوب ایجادی در شبکه آلومینا و فراهم شدن امکان رشد دانه‌های آلومینایی زمینه است [۱۴]. در بدنه‌های آلومینایی با افزایش سایز دانه‌ها از استحکام کاسته می‌شود [۲۲-۲۴]. با افزایش مقدار فاز ثانویه تیتانات آلومینیومی پخش شده در زمینه، بخشی از این کاهش جبران می‌شود. زیرا حضور بیشتر ذرات فاز ثانویه تیتانات آلومینیوم و ایجاد مکانیسم میخکوب شدن مرزدانه‌ها از فرآیند رشد افراطی دانه‌های آلومینا، جلوگیری می‌کند (در کامپوزیت‌های با ترکیب A/10AT). همچنین با دارا بودن مقادیر دانسیته بالا و کاهش تخلخل نسبت به کامپوزیت‌های A/2AT استحکام بهبود می‌یابد. با بیشتر شدن مقدار فاز ثانویه در نمونه‌های با ترکیب A/20AT کاهش استحکام در هر دو نوع کامپوزیت مشاهده می‌شود. این کاهش را می‌توان به افزایش احتمال آگلومراسیون ذرات فاز ثانویه تیتانات آلومینیومی برای هر دو نوع کامپوزیت نانو و میکرونی، نسبت داد. همچنین بطور کلی استحکام فاز ثانویه تیتانات آلومینیوم نسبت به آلومینا بسیار پایین است، لذا افزایش مقادیر حضور این فاز در کامپوزیت افت استحکام را به همراه دارد [۲۵]. تصاویر SEM نمونه‌های زینتر شده در دمای ۱۵۰۰ °C در شکل‌های ۵ تا ۸ نشان داده شده‌اند. شکل ۵ تصویر a مربوط به آلومینایی تک فاز است که نشان دهنده رشد دانه‌های درشت و حذف دانه‌های ریزتر است. سایز دانه‌ها در این نمونه در حدود ۳ میکرون است و تقریباً رشد دانه‌ها هم محور می‌باشد. در تصاویر b و c شکل ۵ بالفاصله با حضور اندک مقادیر  $\text{TiO}_2$  چه به صورت میکرونی یا نانو، رشد افراطی در دانه‌های آلومینا روی داده است که منجر به تشکیل تخلخل‌های نسبتاً درشت در درون و مرزدانه‌ای نیز شده است. همچنین رشد جهت‌دار و افزایش نسبت طول به عرض در دانه‌ها برای هر دو نوع کامپوزیت مشهود است. این شدت رشد بدلیل حضور جای خالی اتمی آلومینیومی،  $\text{Al}_{\text{V}}$  و افزایش شدت نفوذ اتم‌های آلومینیوم است [۲۶].

بررسی سطح شکست (شکل ۶) نشان می‌دهد که نوع شکست در مورد نمونه آلومینایی تک فاز و بدون افزودنی  $\text{TiO}_2$ ، بیشتر از نوع درون دانه‌ای (تصویر a)، مخصوصاً در

نمود [۲۶]. این نانوذرات به صورت نقاط روشن بین دانه‌های آلومینا در تصاویر SEM تهیه شده از الکترون‌های برگشتی شکل ۸ تصویر a و به صورت لایه‌های ظریف نانومتری شکل گرفته در مرز دانه‌های درشت زمینه آلومینایی در تصویر b قابل مشاهده هستند.

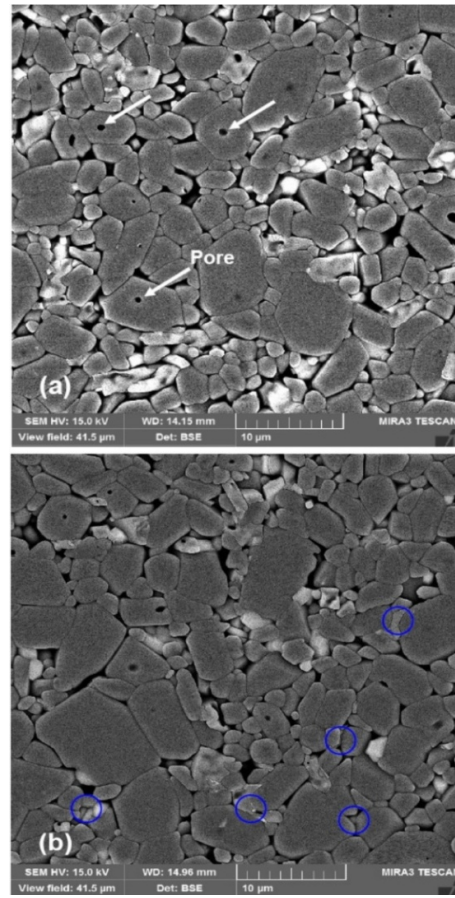


شکل ۸: تصاویر SEM نانوکامپوزیت‌های A-20AT  
(a) سطح پولیش شده و (b) سطح شکست.

#### ۴- نتیجه‌گیری

تشکیل فاز ثانویه تیتانات آلومینیوم در دمای  $1500^{\circ}\text{C}$  در حضور هر دو نوع افزودنی  $\text{TiO}_2$  نانو و میکرونی به صورت کامل انجام می‌شود. حضور اندک مقدار  $\text{TiO}_2$  در آلومینا چه به صورت ذرات نانوسایز و چه به صورت

در نقاط اتصال سه‌گانه دانه‌ها است. همچنین حضور تخلخل‌ها در درون دانه‌های آلومینایی مشاهده می‌شود که با فلش‌های سفید در تصویر a شکل ۷ نشان داده شده‌اند. فاز ثانویه تیتانات آلومینیوم در نمونه نانوکامپوزیتی علاوه بر اینکه به صورت دانه‌های روشن مانند A-20AT کامپوزیت میکروني قابل مشاهده است، به صورت لایه‌های نفوذ کرده و نرم نیز در بین دانه‌های آلومینایی تشکیل شده است که برخی در تصویر b با دایره‌های آبی مشخص شده‌اند. دلیل حضور ذرات فاز تیتانات آلومینیوم به شکل تغییر فرم یافته و نرم در بین دانه‌های آلومینایی را می‌توان به ناجیز بودن مدول یانگ، سختی و استحکام فاز  $\text{Al}_2\text{TiO}_5$  نسبت به آلومینایی  $\alpha$  (فاز زمینه) نسبت داد.



شکل ۷: تصاویر SEM (a) کامپوزیت‌های A-20AT میکرو و (b) نانو (دانه‌های روشن  $\text{Al}_2\text{TiO}_5$  و تیره‌تر آلومینا).

نانوذرات تشکیل شده فاز ثانویه تیتانات آلومینیوم را به صورت لایه‌ای نازک در سطوح شکست می‌توان مشاهده

- [7] J.L. Runyan, S.J. Bennison, *Journal of the European Ceramic Society*, **7**, 1991, 93.
- [8] N.P. Padture, J.L. Runyan, S.J. Bennison, L.M. Braun, B.R. Lawn, *Journal of the American Ceramic Society*, **76**, 1993, 2241.
- [9] I.J. Kim, *Journal of Ceramic Processing Research*, **11**, 2010, 411.
- [10] S.J. Bennison, N.P. Padture, J.L. Runyan, B.R. Lawn, *Philosophical Magazine Letters*, **64**, 1991, 191.
- [11] Y. Yang, Y. Wang, W. Tian, Z. Wang, C.G. Li, Y. Zhaoa, H.M. Bian, *Scripta Materialia*, **60**, 2009, 578.
- [12] C. Baudin, A. Tricoteaux, H. Joire, *Journal of the European Ceramic Society*, **34**, 2014, 69.
- [13] E.R. Winkler, J.P. Sarver, I.B. Cutler, *Journal of the American Ceramic Society*, **49**, 1966, 634.
- [14] R.W. Grimes, *Journal of the American Ceramic Society*, **77**, 1994, 378.
- [15] J.A. Kuszyk, R.C. Bradt, *Journal of the American Ceramic Society*, **56**, 1973, 420.
- [16] J.J. Cleveland, R.C. Bradt, *Journal of the American Ceramic Society*, **61**, 1987, 478.
- [17] Y. Ohya, Z. Nakagawa, *Journal of Materials Science*, **31**, 1996, 1555.
- [18] S. Fazio, J. Guzman, M.T. Colomer, A. Salomoni, R. Moreno, *Journal of the European Ceramic Society*, **28**, 2008, 2171.
- [19] S. Bueno, R. Moreno, C. Baudin, *Journal of the European Ceramic Society*, **24**, 2004, 2785.
- [20] T. Kolodiaznyi, G. Annino, M. Spreitzer, T. Taniguchi, R. Freer, F. Azough, A. Panariello, W. Fitzpatrick, *Acta Materialia*, **57**, 2009, 3402.
- [21] M.M. Wahsh, R.M. Khattab, M.F. Zawrah, *Materials Research Bulletin*, **48**, 2013, 1411.
- [22] C.J. Wang, C.Y. Huang, *Materials Science and Engineering A*, **492**, 2008, 306.
- [23] P. Chantikul, S.J. Bennison, B.R. Lawn, *Journal of the American Ceramic Society*, **73**, 1990, 2419.
- [24] S. Bueno, R. Moreno, C. Baudin, *Journal of the European Ceramic Society*, **25**, 2005, 847.
- [25] M. Nath, S. Sen, K. Banerjee, A. Ghosh, H.S. Tripathi, *Ceramics International*, **38**, 2013, 227.
- [26] A. Borrell, M.D. Salvador, V.G. Rocha, A. Fernandez, T. Molina, R. Moreno, *Composites: Part B*, **47**, 2013, 255.

میکرونی، اثر مشابهی در بهبود رفتار زینتریذیری آلمینا دارد و مقادیر دانسیته بلا فاصله در اثر این افزودن، افزایش چشمگیری می‌یابد. افزایش دانسیته با افزایش مقدار ذرات فاز ثانویه تا ۲۰٪ وزنی، برای کامپوزیت با افزودنی  $TiO_2$  نانوسایز ادامه دارد اما در نوع میکرونی به مقدار ثابتی می‌رسد. مقادیر استحکام خمشی برای کامپوزیت‌های نانو و میکرونی، در کامپوزیت A/20AT یکسان و در حدود ۲۶۰ MPa می‌باشد، اما در کامپوزیت A/10AT این مقدار برای نوع افزودنی نانو ۲۹۲ MPa و برای نوع میکرونی ۲۶۹ MPa است. باعث تغییر شکست از نمونه در برای آلمینا در حضور فاز ثانویه به مرزدانه‌ای در کامپوزیت‌ها تغییر می‌کند. نانوذرات فاز ثانویه در نانوکامپوزیت‌های A/AT در نقاط اتصال دانه‌های زمینه و یا در مرزدانه‌ها به صورت لایه‌ای قرار می‌گیرند.

## مراجع

- [1] T. Molina, M. Vicent, E. Sanchez, R. Moreno, *Materials Research Bulletin*, **47**, 2012, 2469.
- [2] S.J. Kalita, V. Soman, *Materials Research Bulletin*, **45**, 2010, 1803.
- [3] B. Freudenberg, A. Mocellin, *Journal of the American Ceramic Society*, **70**, 1987, 33.
- [4] M. Sobhani, A. Sedaghat, T. Ebadzadeh, M. Ebrahimi, *Ceramics International*, **39**, 2013, 6899.
- [5] S. Bueno, M.H. Berger, R. Moreno, C. Baudin, *Journal of the European Ceramic Society*, **28**, 2008, 1961.
- [6] R.D. Skala, D. Li, I.M. Low, *Journal of the European Ceramic Society*, **29**, 2009, 67.